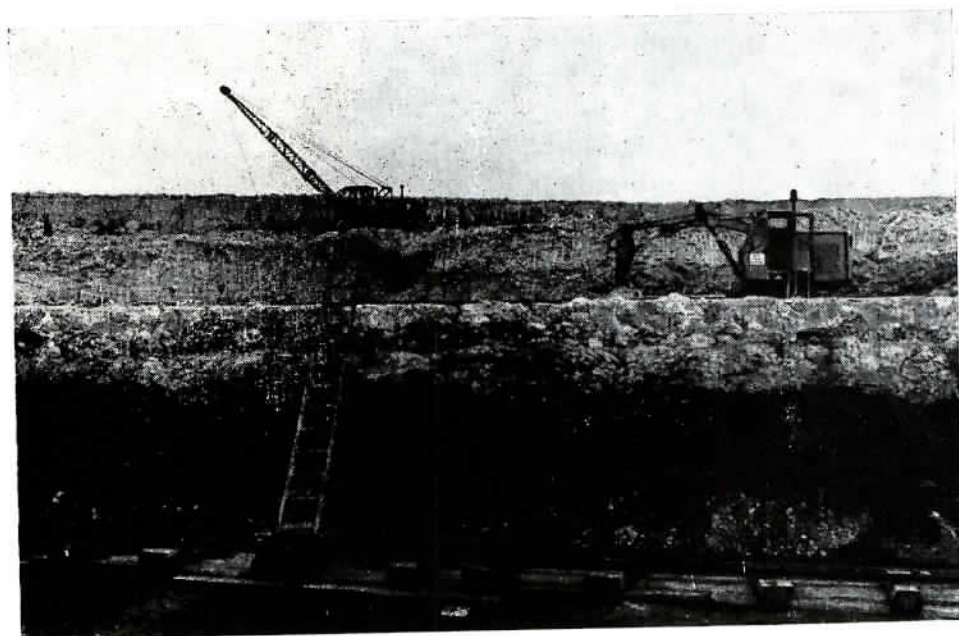
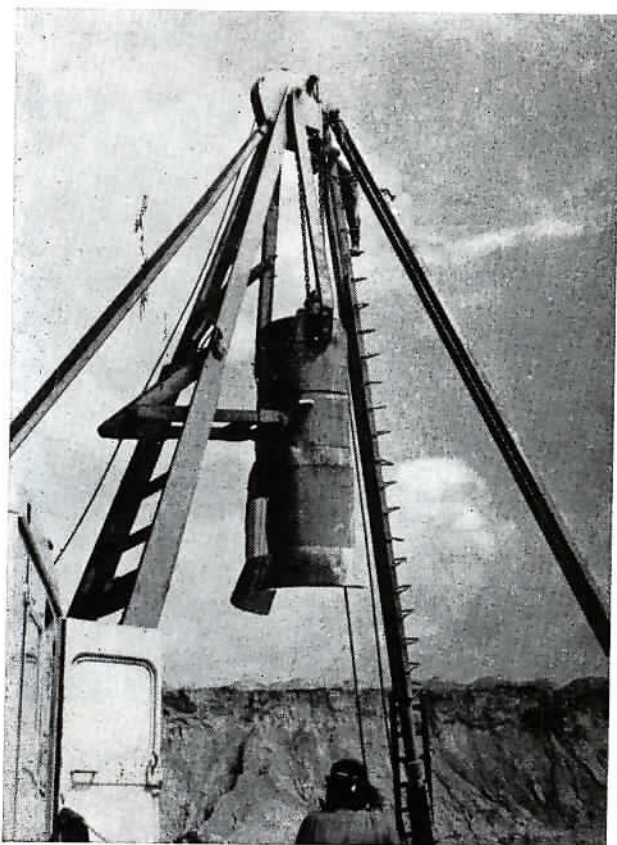
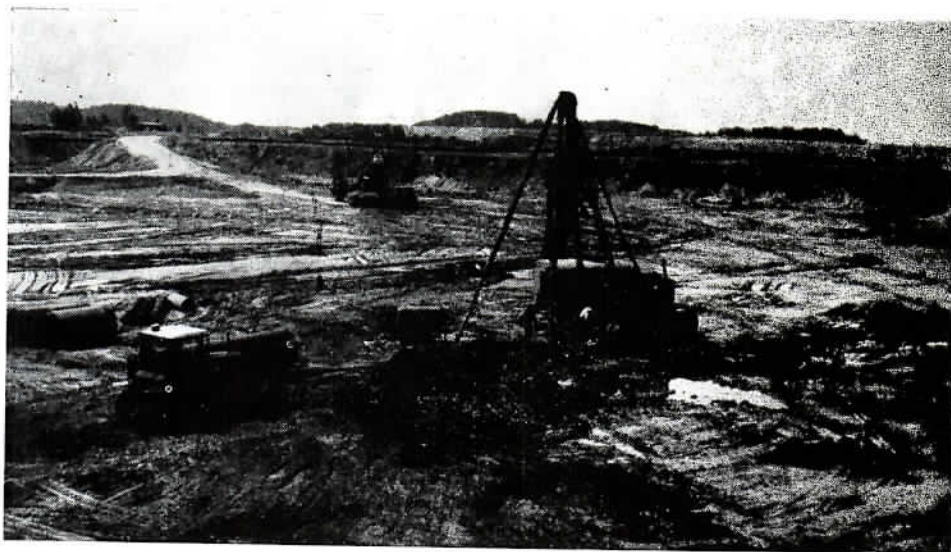




1. Pohled do novoveské jámy s těžbou bělninových (pórovinových) a šamotových jíly při s. okraji ložiska; tmavý organogenní horizont Nero při bázi těžební stěny je uložen v nadloží vonšovských vrstev v písčitém vývoji (mocnost skrývky 20—25 m)

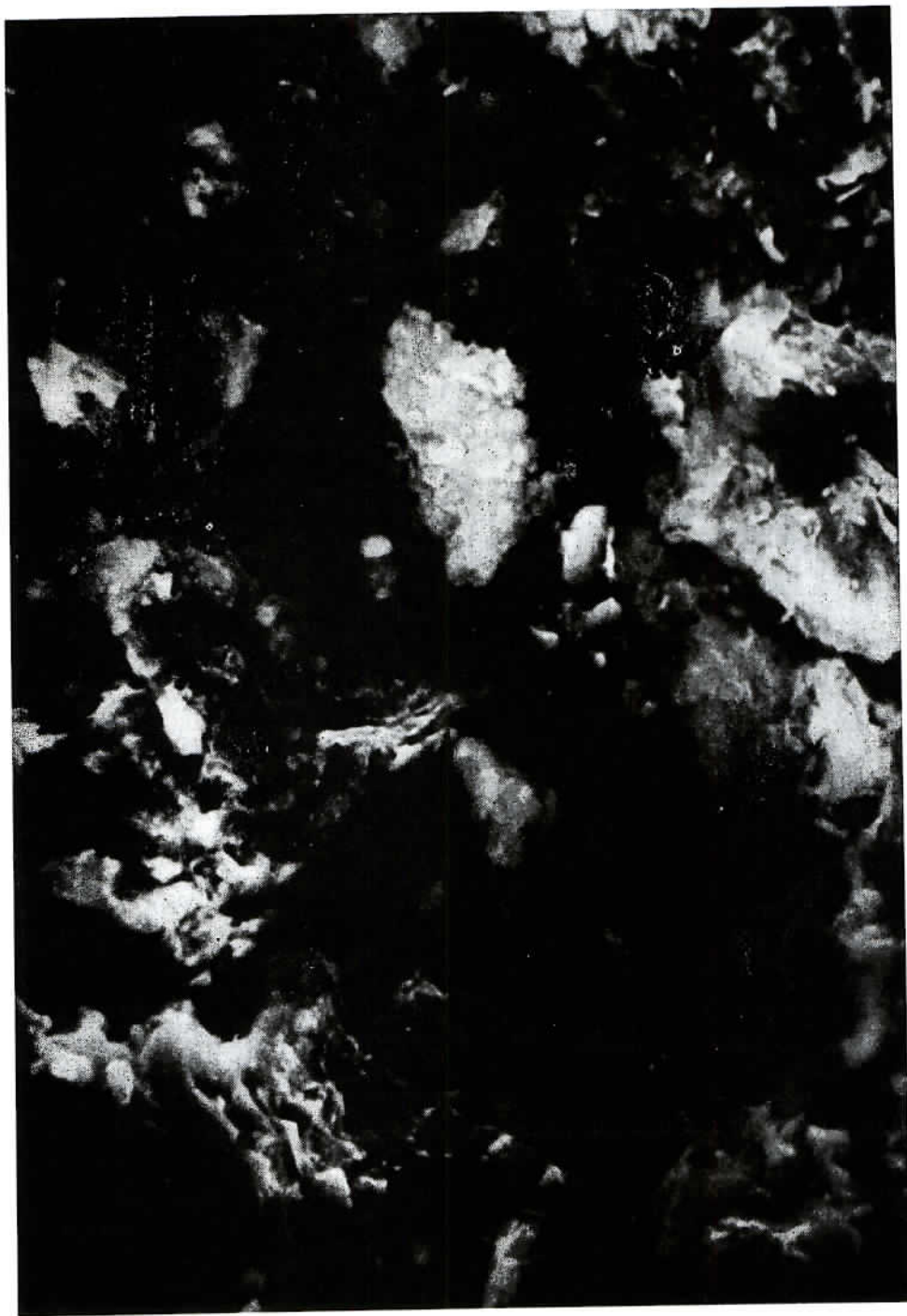


2. Horizont Nero s lignitickými jíly na bázi novoveských vrstev [novoveská jáma]
Foto P. Šantrůček

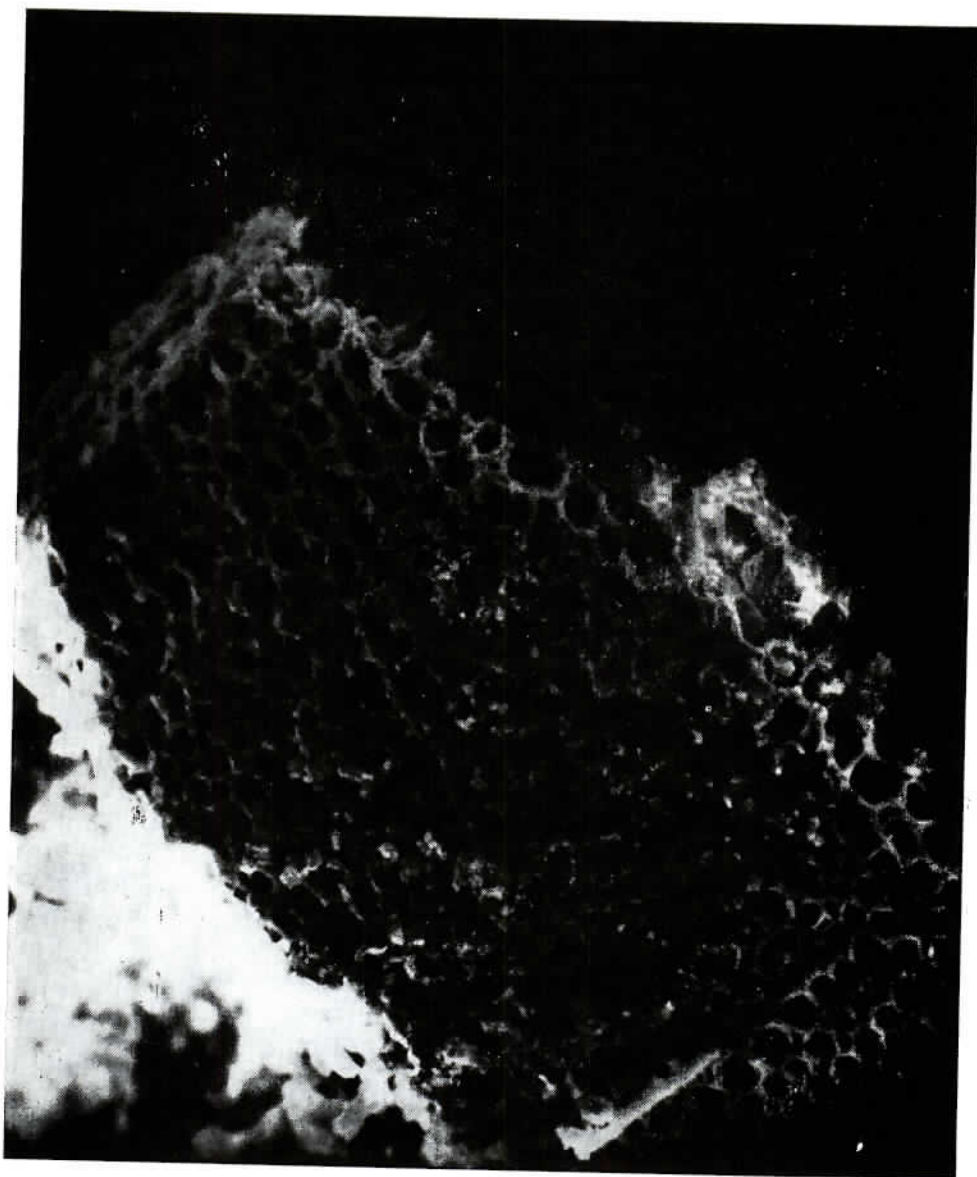


1. Širokoprofilový vrt v
otvírce Nová Ves II
2. Lžicový vrták pro od-
běr velkoobjemových
technologických vzorků
z nového ložiska žáro-
vzdorných vazných jílu
Nová Ves II

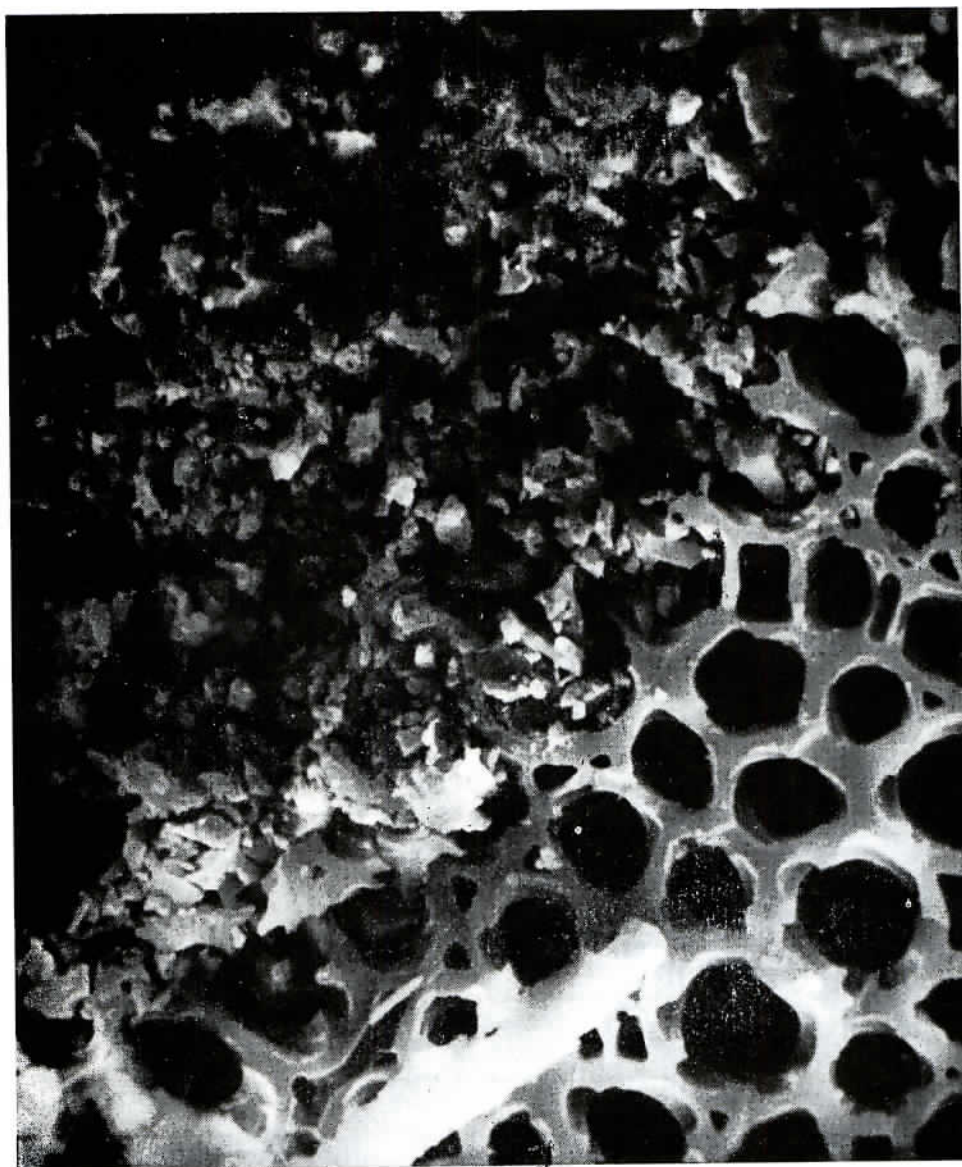
Foto P. Šantrůček



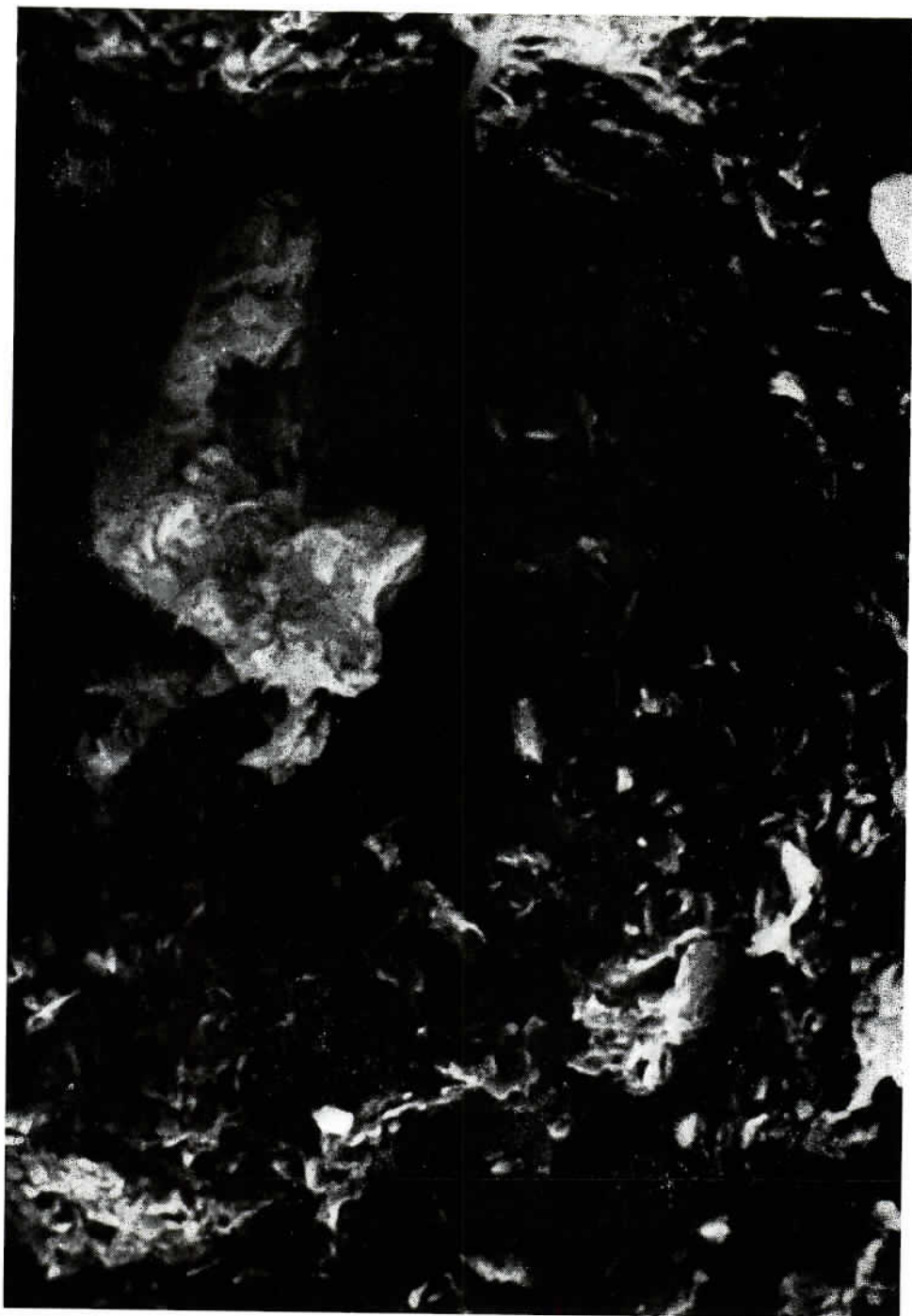
Jíl IB, snímek z rastrovacího elektronového mikroskopu, zvětšení 2000 \times .



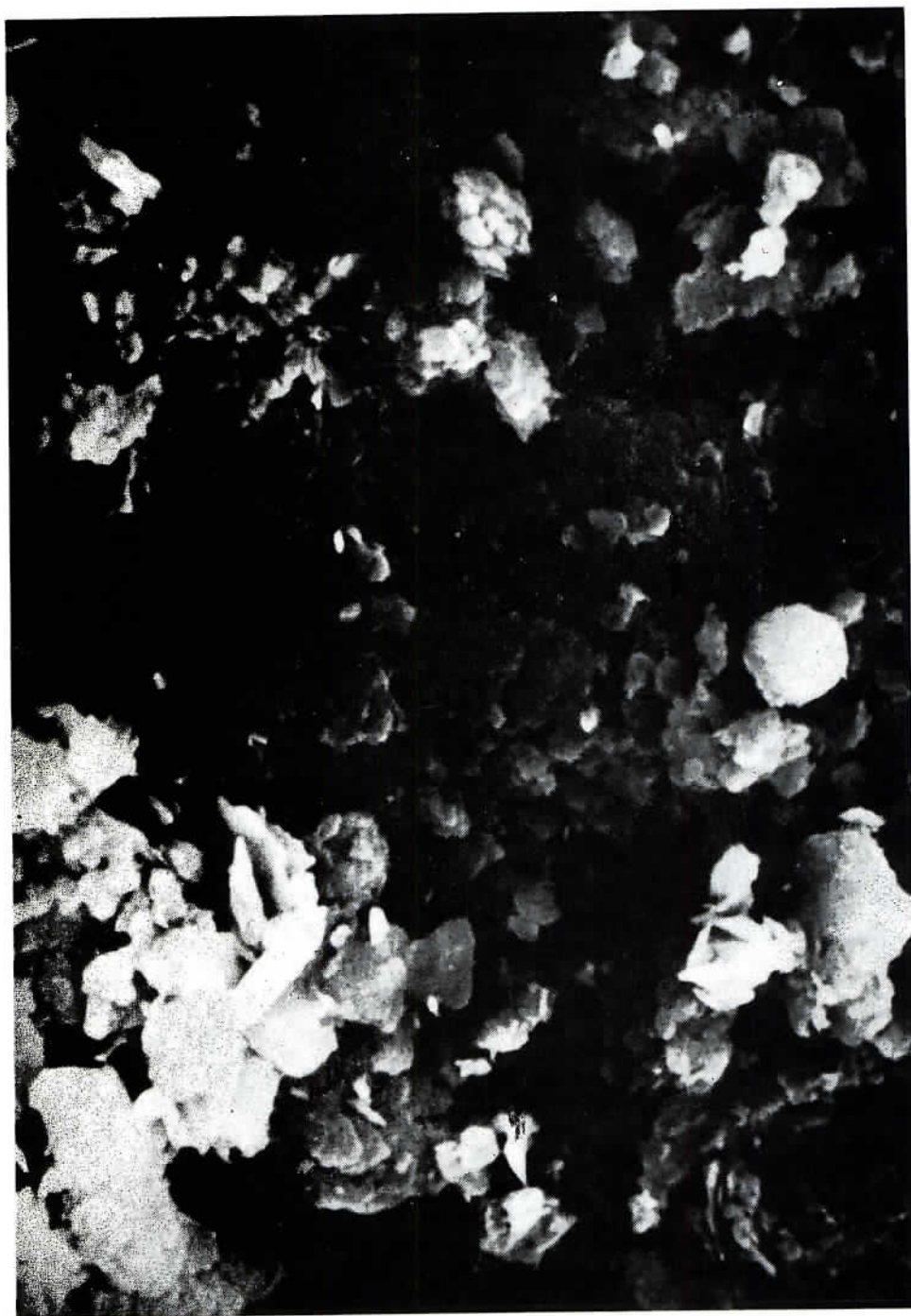
Jil Nero F, snímek z rastrovacího elektronového mikroskopu, zvětšení 400×



Jil Nero F, snímek z rastrovacího elektronového mikroskopu, zvětšení 1500 \times



Jíl Nero F, snímek z rastrovacího elektronového mikroskopu, zvětšení 4 000 \times



Jil Pluto, snímek z rastrovacího elektronového mikroskopu, zvětšení 4 000 \times



Jil Kb, snímek z rastrovacího elektronového mikroskopu, zvětšení 1 000×



Jíl Kb, snímek z rastrovacího elektronového mikroskopu, zvětšení 600 \times



Jíl Wi, snímek z rastrovacího elektronového mikroskopu, zvětšení 600 \times



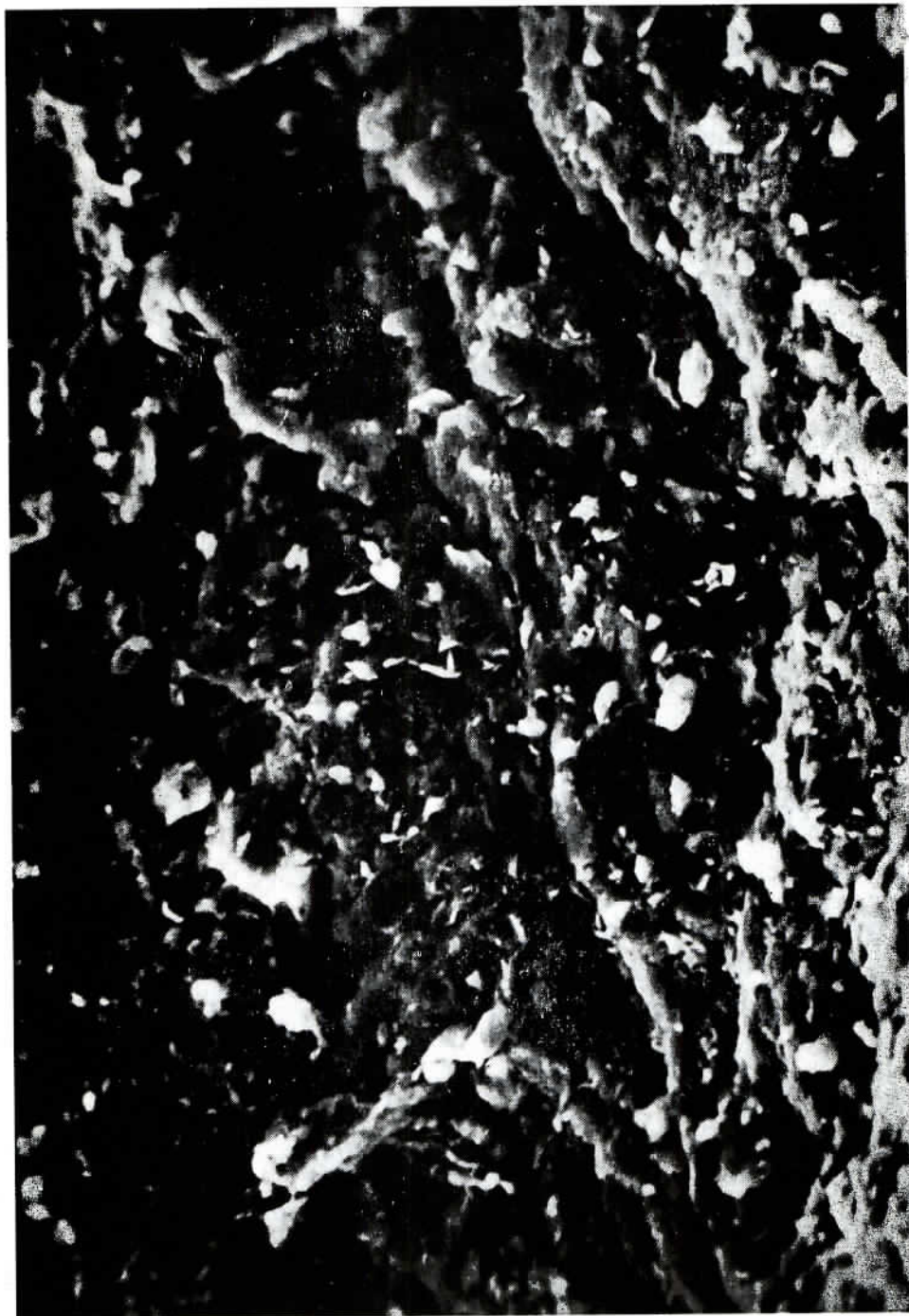
I1 I1, snímek z rastrovacího elektronového mikroskopu, zvětšení 2 000 \times



Jíl W1, snímek z rastrovacího elektronového mikroskopu, zvětšení 4 000 \times

1960 200 000

1960 200 000



Jíl Km, snímek z rastrovacího elektronového mikroskopu, zvětšení 500 \times



Jil Km, snímek z rastrovacího elektronového mikroskopu, zvětšení 1 000 \times



Jíl GE, snímek z rastrovacího elektronového mikroskopu, zvětšení 600 \times



Jíl GE, snímek z rastrovacího elektronového mikroskopu, zvětšení 1 000 \times
Foto na příl. III—XVI H. Novotná